

Laboratorium Podstaw Elektroniki			
Kierunek <i>Informatyka</i>	Specjalność –	Rok studiów <i>I</i>	Symbol grupy lab. <i>nie mamy</i>
Temat Laboratorium <i>Ćwiczenia wprowadzające</i>			Numer lab. <i>I</i>
Skład grupy ćwiczeniowej oraz numery indeksów <i>Piotr Więtczak(132339), Robert Ciemny(136693), Kamil Basiukajc(136681)</i>			
Uwagi		Ocena	

1 Ćwiczenia wprowadzające

1.1 Rezystory

Cel

W tym ćwiczeniu należy odczytać wartość rezystancji na podstawie kodu paskowego rezystorów lub oznaczeń oraz dokonać pomiaru wartości rezystancji przy pomocy multimetru RIGOL DM3051, pamiętając przy tym o poprawnym zapisaniu jednostek podczas wypełniania tabeli [1](#)

Wartości odczytów i wyniki pomiarów rezystancji

R	Barwa/oznaczenia	Odczyt	Pomiar
R_1	żółty - fioletowy - czerwony - złoty	$4.7k\Omega$	$4.634k\Omega$
R_2	czerwony - czarny - zielony - złoty	$2M\Omega$	$2.009M\Omega$
R_3	czerwony - czerwony - czerwony - złoty	$2.2k\Omega$	$2.132k\Omega$
R_4	czerwony - czerwony - brązowy - złoty	220Ω	219.320Ω
R_5	brązowy - czarny - czerwony - złoty	$1k\Omega$	0.976Ω
R_6	10R	10Ω	10.71Ω

Tablica 1: Wartości odczytów i pomiarów rezystancji

1.2 Kondensatory

Cel

W tym ćwiczeniu należy odczytać wartość pojemności kondensatorów na podstawie ich oznaczeń oraz dokonać pomiaru wartości pojemności przy pomocy mostka pomiarowego, pamiętając przy tym o poprawnym zapisaniu jednostek podczas wypełniania tabeli [2](#).

Wartości odczytów i wyniki pomiarów pojemności

<i>C</i>	<i>Oznaczenia</i>	<i>Odczyt</i>	<i>Pomiar</i>
C_1	$47\mu F$ 35V	$47\mu F$	$44.31\mu F$
C_2	$100\mu F$ 63V	$100\mu F$	$99.14\mu F$
C_3	$2.2\mu F$ 50V	$2.2\mu F$	$2.131\mu F$
C_4	$22\mu F$ 25V	$22\mu F$	$22.081\mu F$
C_5	103 10nF	10nF	$9.22nF$
C_6	102 1nF	1nF	$0.912nF$

Tablica 2: Wartości odczytów i pomiarów pojemności

1.3 Cewki

Cel

W tym ćwiczeniu należy dokonać pomiaru indukcyjności wybranej cewki przy pomocy mostka pomiarowego, pamiętając przy tym o poprawnym zapisaniu jednostek podczas wypełniania tabeli [3](#).

Wynik pomiaru indukcyjności

<i>L</i>	<i>Pomiar</i>
L_1	30.8 μH

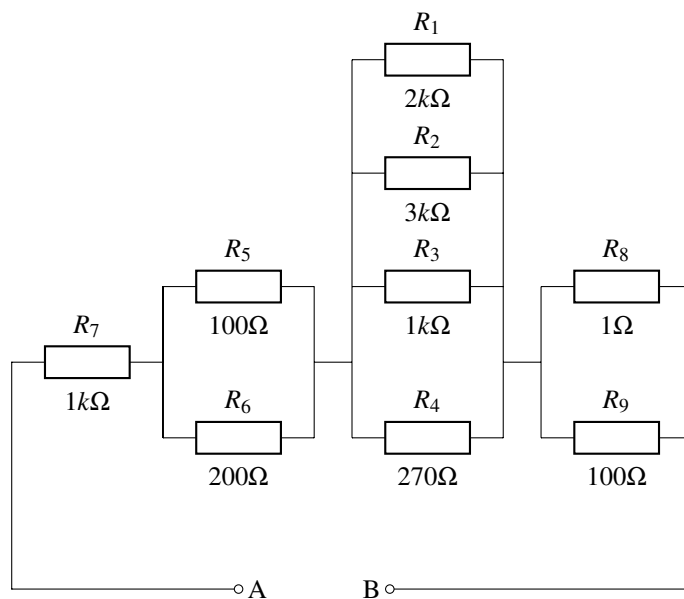
Tablica 3: Wartości odczytów i pomiarów indukcyjności

2 Obwody

2.1 Obliczanie rezystancji zastępczej

Cel

W tym ćwiczeniu należy obliczyć rezystancję zastępczą od strony zacisków AB dla schematu przedstawionego na rys. 1 oraz zapisać pełne wyprowadzenie wzoru rezystancji zastępczej



Rysunek 1: Obwód rezystancyjny

2.1.1 Wyprowadzenie wzoru i obliczenie rezystancji zastępczej

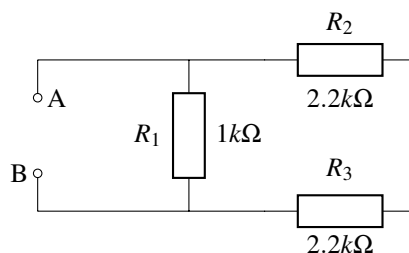
2.2 Budowanie obwodów rezystancyjnych

Cel

Celem tego ćwiczenia jest:

- Przy pomocy stykowej płytki prototypowej zbudować wszystkie obwody pokazane na rysunkach 2, 4, 6, 8, 10, 12.
- Przy pomocy Multimetru RIGOL skonfigurowanego do pomiaru rezystancji dokonać pomiaru rezystancji zastępczej od strony zacisków AB.
- Wyprowadzić wzory na poszczególne rezystancje zastępcze od strony zacisków AB.
- Napisać z czego wynikają różnice między pomiarem, a obliczeniami.

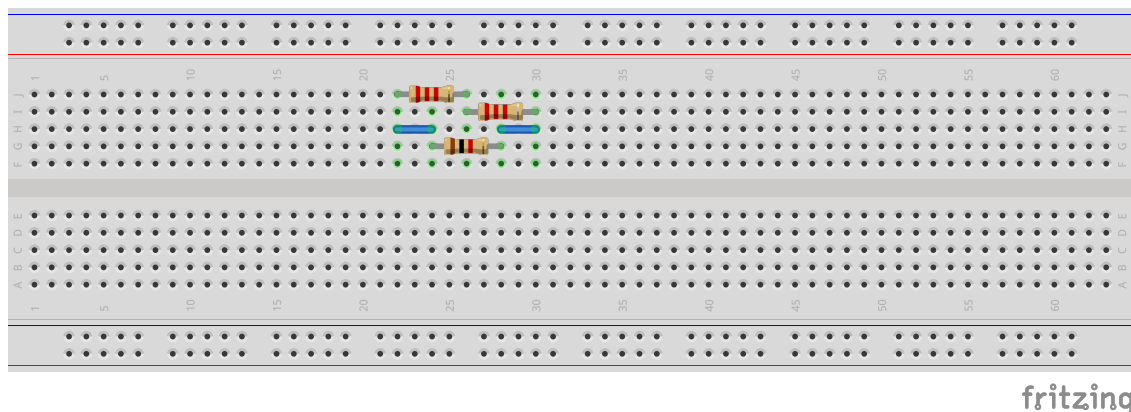
2.2.1 Obwód (a)



Rysunek 2: (a)

Budowa obwodu przy pomocy stykowej płytki prototypowej

Budowa obwodu przy pomocy stykowej płytki prototypowej została przedstawiona w programie Fritzing na rysunku 3.



Rysunek 3: obwód (a)

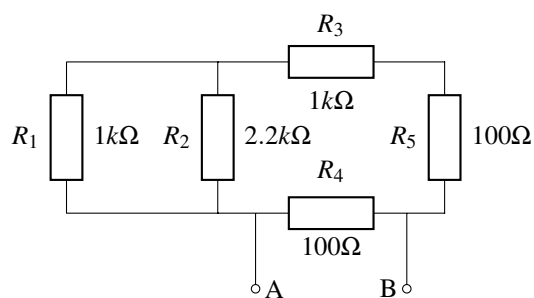
Pomiar rezystancji

Dla obwodu z rysunku 2 dokonano pomiaru rezystancji od strony zacisków AB przy pomocy Multimetru RIGOL skonfigurowanego do pomiaru rezystancji. Multimert wskazał wynik $0.808k\Omega$.

Wyprowadzenie wzoru na rezystancje zastępcze dla obwodu z rysunku 2

$$\begin{aligned} R_{23} &= R_2 + R_3 \\ R_z &= \frac{1}{\frac{1}{R_{23}} + \frac{1}{R_1}} = \frac{(R_2 + R_3)R_1}{R_1 + R_2 + R_3} \\ R_z &= \frac{(2200\Omega + 2200\Omega)1000\Omega}{1000\Omega + 2200\Omega + 2200\Omega} = \frac{4400000\Omega}{5400\Omega} \approx 814.8148\Omega \end{aligned}$$

2.2.2 Obwód (b)

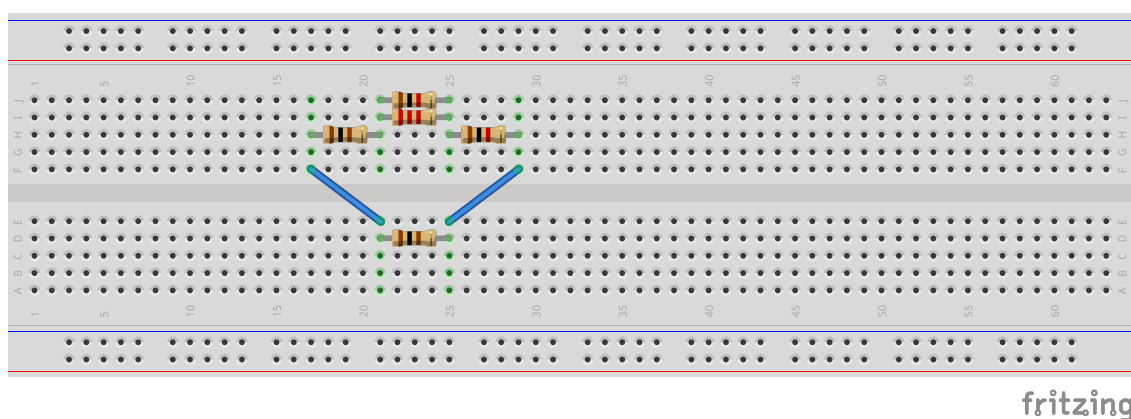


(1)

Rysunek 4: (b)

Budowa obwodu przy pomocy stykowej płytki prototypowej

Budowa obwodu przy pomocy stykowej płytki prototypowej została przedstawiona w programie Fritzing na rysunku 5.



Rysunek 5: obwód (b)

Pomiar rezystancji

Dla obwodu z rysunku 4 dokonano pomiaru rezystancji od strony zacisków AB przy pomocy Multimetru RIGOL skonfigurowanego do pomiaru rezystancji. Multimert wskazał wynik 95.5kΩ.

Wyprowadzenie wzoru na rezystancje zastępcze dla obwodu z rysunku 4

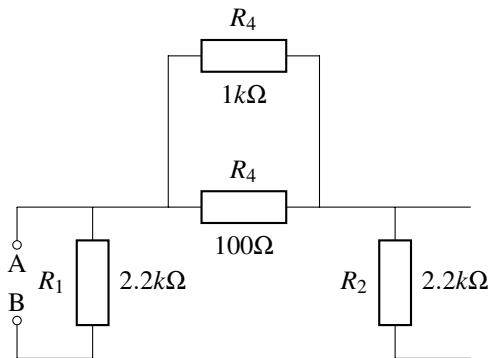
$$R_{12} = \frac{1}{\frac{1}{R_1} + \frac{1}{R_2}}$$

$$R_{1235} = R_{12} + R_3 + R_5$$

$$R_z = \frac{1}{\frac{1}{R_4} + \frac{1}{\frac{1}{\frac{1}{R_1} + \frac{1}{R_2}} + R_3 + R_5}}$$

$$R_z = \frac{1}{\frac{1}{100\Omega} + \frac{1}{\frac{1}{\frac{1}{1000\Omega} + \frac{1}{2200\Omega}} + 1000\Omega + 100\Omega}} = \frac{14300}{151} \approx 94.7\Omega$$

2.2.3 Obwód (c)



Rysunek 6: (c)

Budowa obwodu przy pomocy stykowej płytki prototypowej

Budowa obwodu przy pomocy stykowej płytki prototypowej została przedstawiona w programie Fritzig na rysunku 7.

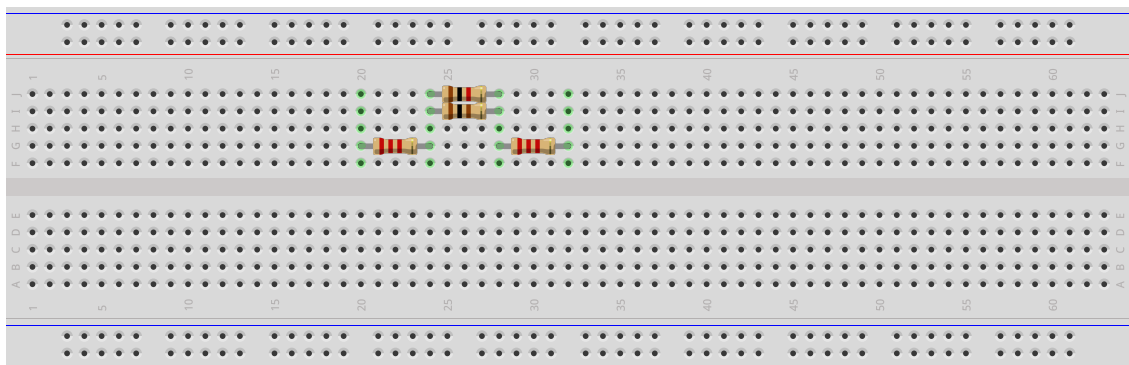
Pomiar rezystancji

Dla obwodu z rysunku 6 dokonano pomiaru rezystancji od strony zacisków AB przy pomocy Multimetru RIGOL skonfigurowanego do pomiaru rezystancji. Multimert wskazał wynik 2161.56Ω.

Wyprowadzenie wzoru na rezystancje zastępcze dla obwodu z rysunku 6

$$R_z = R_1$$

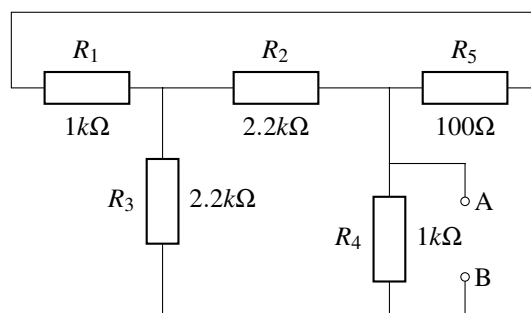
$$R_z = 2200\Omega$$



fritzing

Rysunek 7: obwód (c)

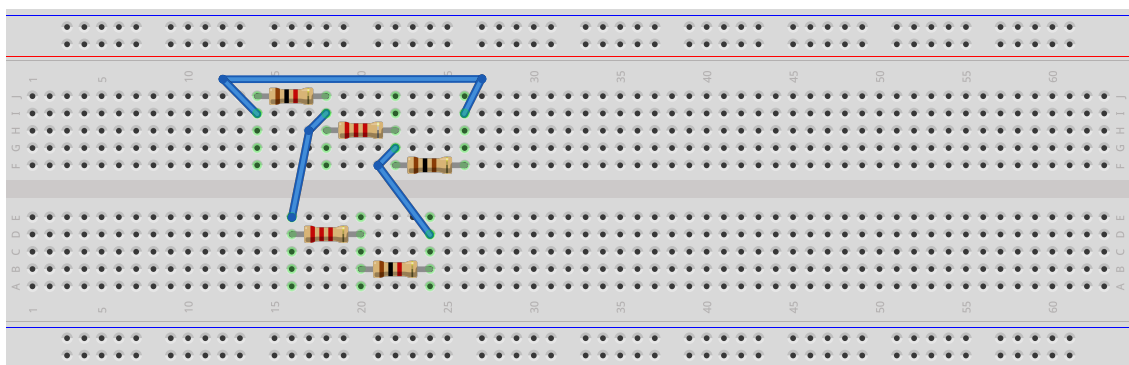
2.2.4 Obwód (d)



Rysunek 8: (d)

Budowa obwodu przy pomocy stykowej płytki prototypowej

Budowa obwodu przy pomocy stykowej płytki prototypowej została przedstawiona w programie Fritzing na rysunku 9.



fritzing

Rysunek 9: obwód (d)

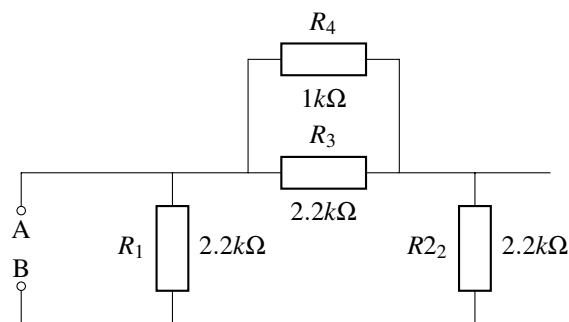
Pomiar rezystancji

Dla obwodu z rysunku 8 dokonano pomiaru rezystancji od strony zacisków AB przy pomocy Multimetru RIGOL skonfigurowanego do pomiaru rezystancji. Multimert wskazał wynik 739.36Ω .

Wyprowadzenie wzoru na rezystancje zastępcze dla obwodu z rysunku 8

$$\begin{aligned}R_{51} &= R_5 + R_1 \\R_{152} &= \frac{1}{\frac{1}{R_2} + \frac{1}{R_{51}}} \\R_{3152} &= R_3 + R_{152} \\R_z &= \frac{1}{\frac{1}{R_4} + \frac{1}{R_{3152}}} \\R_z &= \frac{1}{\frac{1}{R_4} + \frac{1}{R_3 + \frac{1}{\frac{1}{R_2} + \frac{1}{R_5 + R_1}}}} \\R_z &= \frac{1}{\frac{1}{1000\Omega} + \frac{1}{2200\Omega + \frac{1}{\frac{1}{2200\Omega} + \frac{1}{100\Omega + 1000\Omega}}}} \approx 745.76\Omega\end{aligned}$$

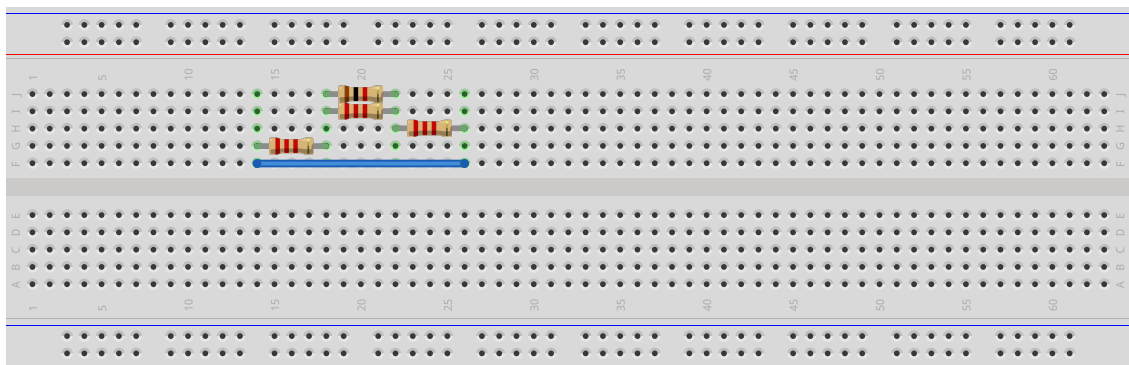
2.2.5 Obwód (e)



Rysunek 10: (e)

Budowa obwodu przy pomocy stykowej płytki prototypowej

Budowa obwodu przy pomocy stykowej płytki prototypowej została przedstawiona w programie Fritzig na rysunku 11.



fritzing

Rysunek 11: obwód (e)

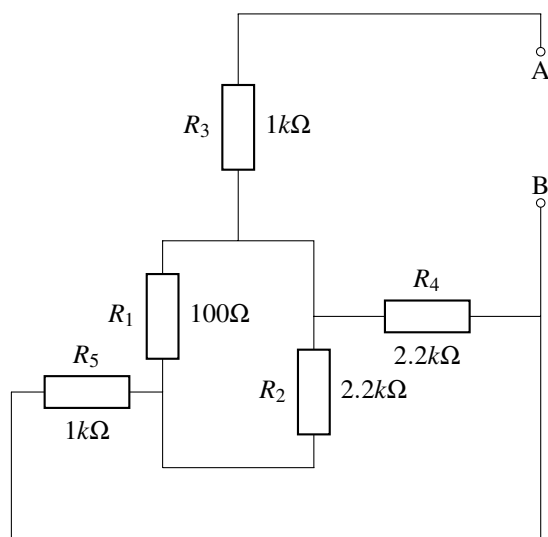
Pomiar rezystancji

Dla obwodu z rysunku 10 dokonano pomiaru rezystancji od strony zacisków AB przy pomocy Multimetru RIGOL skonfigurowanego do pomiaru rezystancji. Multimert wskazał wynik 69Ω .

Wyprowadzenie wzoru na rezystancje zastępcze dla obwodu z rysunku 10

$$\begin{aligned}
 R_{34} &= \frac{1}{\frac{1}{R_3} + \frac{1}{R_4}} \\
 R_{234} &= R_2 + R_{34} \\
 R_z &= \frac{1}{\frac{1}{R_1} + \frac{1}{R_{234}}} \\
 R_z &= \frac{1}{\frac{1}{R_1} + \frac{1}{R_2 + \frac{1}{\frac{1}{R_3} + \frac{1}{R_4}}}} \\
 R_z &= \frac{1}{\frac{1}{2200\Omega} + \frac{1}{2200\Omega + \frac{1}{\frac{1}{2200\Omega} + \frac{1}{1000\Omega}}}} \approx 1248.6486\Omega
 \end{aligned}$$

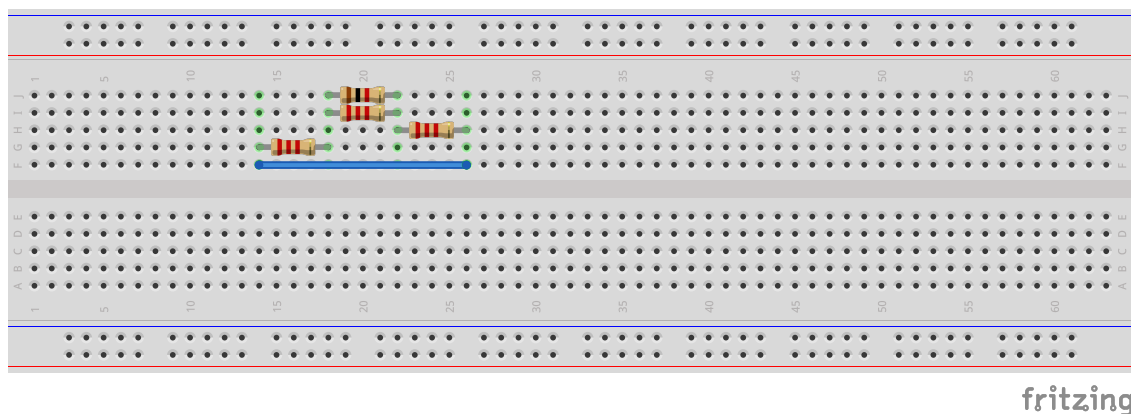
2.2.6 Obwód (f)



Rysunek 12: (f)

Budowa obwodu przy pomocy stykowej płytki prototypowej

Budowa obwodu przy pomocy stykowej płytki prototypowej została przedstawiona w programie Fritzing na rysunku 13.



Rysunek 13: obwód (e)

Pomiar rezystancji

Dla obwodu z rysunku 12 dokonano pomiaru rezystancji od strony zacisków AB przy pomocy Multimetru RIGOL skonfigurowanego do pomiaru rezystancji. Multimeter wskazał wynik 69Ω.

Wyprowadzenie wzoru na rezystancje zastępcze dla obwodu z rysunku 12

$$\begin{aligned}
 R_{12} &= \frac{1}{\frac{1}{R_1} + \frac{1}{R_2}} \\
 R_{125} &= R_{12} + R_5 \\
 R_{1245} &= \frac{1}{\frac{1}{R_4} + \frac{1}{R_{125}}} \\
 R_z &= R_3 + R_{1245} \\
 R_z &= R_3 + \frac{1}{\frac{1}{R_4} + \frac{1}{\frac{1}{\frac{1}{R_1} + \frac{1}{R_2}} + R_5}} \\
 R_z &= 1000\Omega + \frac{1}{\frac{1}{2200\Omega} + \frac{1}{\frac{1}{\frac{1}{100\Omega} + \frac{1}{2200\Omega}} + 1000\Omega}} \approx 1731.39841
 \end{aligned}$$

Wnioski na temat różnic między pomiarami, a obliczeniami

3 Pomiary napięcia

3.1 Pomiar wartości napięć wyjściowych z zasilacza

Cel

W ćwiczeniu należy dokonać pomiaru napięcia z sekcji DC POWER SUPPLY zestawu laboratoryjnego DF 6911, oraz odpowiedzieć na pytanie, z czego mogą wynikać ewentualne różnice między wartościami odczytanymi, a zmierzonymi.

Tabela z wartościami odczytów i pomiarów

$U[V]$	Odczyt[V]	Pomiar[V]
1	1	1.107
3	3	3.172
4.5	4.5	4.635
11	11	11.226
13	13	13.183
25	25	25.344
28	28	28.306

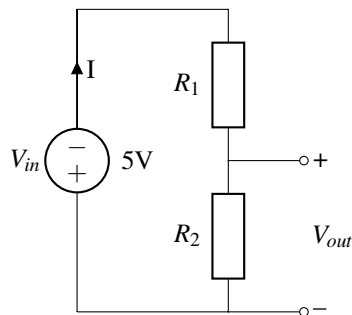
Tablica 4: Wartości odczytów i pomiarów

Wnioski na temat różnic między pomiarami, a odczytami

3.2 Dzielnik napięcia

Cel

W ćwiczeniu należy, przy pomocy praw Kirchhoffa, wyprowadzić wzory oraz zależności opisujące dzielnik napięcia pokazany na rysunku 3. Następnie należy zaprojektować dzielnik napięcia, dobierając odpowiednio rezystory i zbudować go na płycie prototypowej w taki sposób, aby na wyjściu V_{out} (spadek napięcia na rezystorze R_2) otrzymać kolejno napięcia: 2.5V, 3.22V, 1.66V, 4V, 4.54V. Przy realizacji każdego z dzielników należy dokonać pomiarów napięcia V_{out} i porównać z wartościami otrzymanymi z wyprowadzonego wzoru i dobranych rezystorów.



Rysunek 14: Rezystencyjny dzielnik napięcia

Wyprowadzenie wzoru na V_{out}

$$V_{in} - IR_1 - IR_2 = 0$$

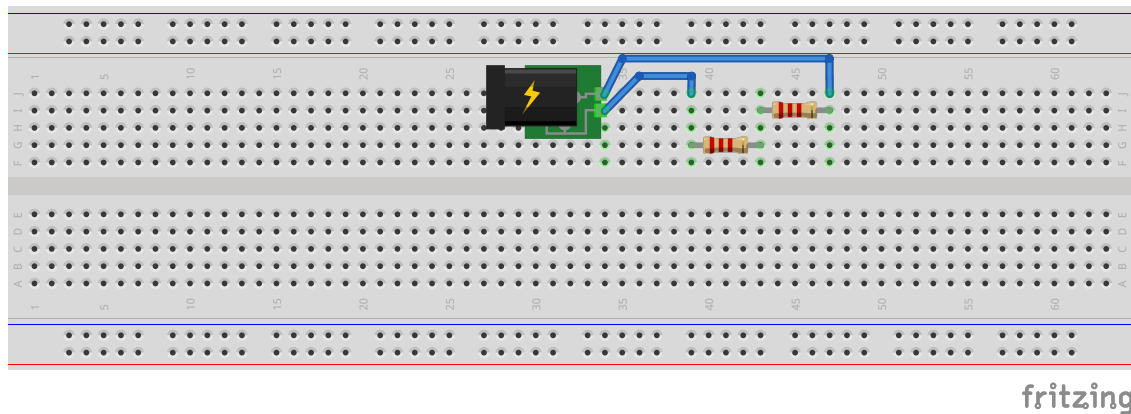
$$IR_2 = V_{out}$$

$$I = \frac{V_{in}}{R_1 + R_2}$$

$$V_{out} = \frac{R_2 V_{in}}{R_1 + R_2}$$

3.2.1 Napięcie na wyjściu $V_{out} = 2.5V$

Projekt dzielnika napięcia w programie Fritzing



Rysunek 15: Rezystencyjny podzielnik napięcia

Wyznaczenie stosunku między R_1 i R_2 przy użyciu wyprowadzonego wzoru

$$\begin{aligned} 2.5V &= \frac{5V R_2}{R_1 + R_2} \\ \frac{2.5V}{5V} &= \frac{R_2}{R_1 + R_2} \\ \frac{1}{2} &= \frac{R_2}{R_1 + R_2} \\ \frac{1}{2} R_1 + \frac{1}{2} R_2 &= R_2 \\ R_1 &= R_2 \end{aligned}$$

Obliczenie wartości V_{out} dla rezystorów $R_1 = 2.2k\Omega$, $R_2 = 2.2k\Omega$ przy użyciu wyprowadzonego wzoru

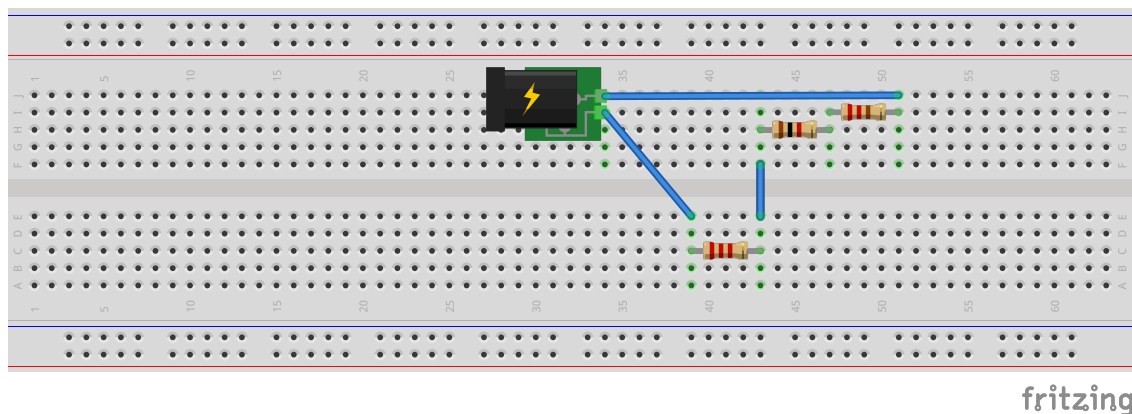
$$V_{out} = \frac{2200\Omega \cdot 5V}{2200\Omega + 2200\Omega} = 2.5V$$

Pomiar napięcia V_{out}

Dla podzielnika napięcia dokonano pomiaru napięcia wyjściowego V_{out} przy pomocy Multimetru RIGOL skonfigurowanego do pomiaru napięcia. Multimert wskazał wynik 2.563V.

3.2.2 Napięcie na wyjściu $V_{out} = 3.22V$

Projekt dzielnika napięcia w programie Fritzing



Rysunek 16: Rezystencyjny podzielnik napięcia

Wyznaczenie stosunku między R_1 i R_2 przy użyciu wyprowadzonego wzoru

$$\begin{aligned}\frac{3.22V}{5V} &= \frac{R_2}{R_1 + R_2} \\ \frac{161}{250}R_1 + \frac{161}{250}R_2 &= R_2 \\ R_1 &= \frac{89}{161}R_2\end{aligned}$$

Obliczenie wartości V_{out} dla rezystorów $R_1 = 1.22k\Omega$, $R_2 = 2.2k\Omega$ przy użyciu wyprowadzonego wzoru

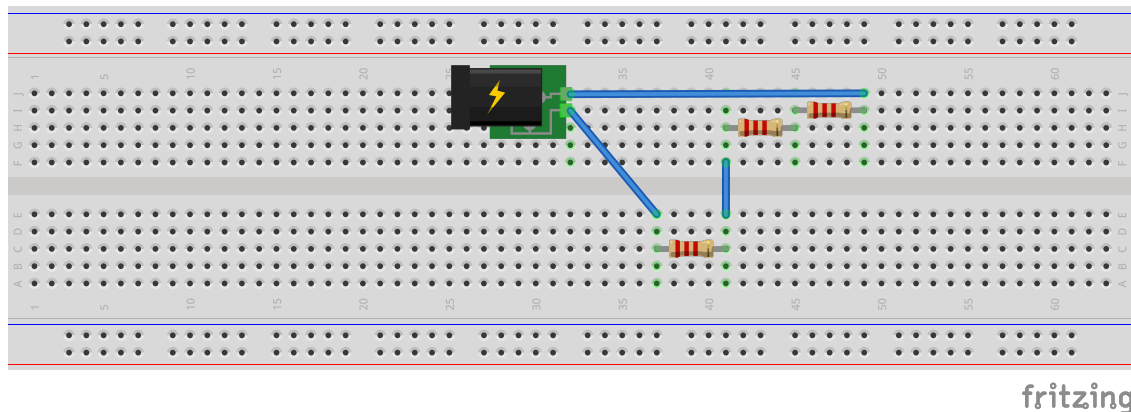
$$V_{out} = \frac{2200\Omega \cdot 5V}{2200\Omega + 1220\Omega} \approx 3.216V$$

Pomiar napięcia V_{out}

Dla podzielnika napięcia dokonano pomiaru napięcia wyjściowego V_{out} przy pomocy Multimetru RIGOL skonfigurowanego do pomiaru napięcia. Multimert wskazał wynik 3.351V.

3.2.3 Napięcie na wyjściu $V_{out} = 1.66V$

Projekt dzielnika napięcia w programie Fritzing



Rysunek 17: Rezystencyjny podzielnik napięcia

Wyznaczenie stosunku między R_1 i R_2 przy użyciu wyprowadzonego wzoru

$$\begin{aligned}\frac{1.66V}{5V} &= \frac{R_2}{R_1 + R_2} \\ \frac{83}{250}R_1 + \frac{83}{250}R_2 &= R_2 \\ R_1 &= \frac{167}{83}R_2\end{aligned}$$

Obliczenie wartości V_{out} dla rezystorów $R_1 = 4.4k\Omega$, $R_2 = 2.2k\Omega$ przy użyciu wyprowadzonego wzoru

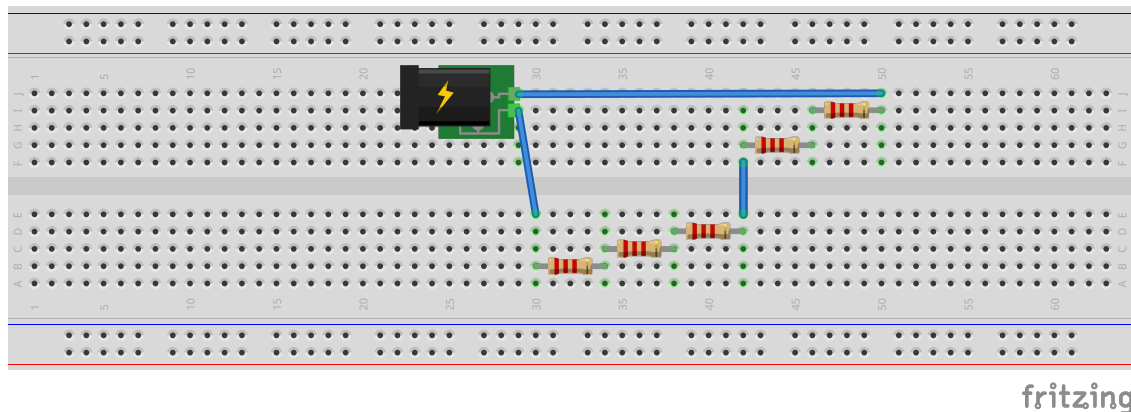
$$V_{out} = \frac{2200\Omega \cdot 5V}{4400\Omega + 2200\Omega} \approx 1, (6)V$$

Pomiar napięcia V_{out}

Dla podzielnika napięcia dokonano pomiaru napięcia wyjściowego V_{out} przy pomocy Multimetru RIGOL skonfigurowanego do pomiaru napięcia. Multimert wskazał wynik 1.695V.

3.2.4 Napięcie na wyjściu $V_{out} = 4V$

Projekt dzielnika napięcia w programie Fritzing



Rysunek 18: Rezystencjalny podzielnik napięcia

Wyznaczenie stosunku między R_1 i R_2 przy użyciu wyprowadzonego wzoru

$$\begin{aligned}\frac{4V}{5V} &= \frac{R_2}{R_1 + R_2} \\ \frac{4}{5}R_1 + \frac{4}{5}R_2 &= R_2 \\ R_1 &= \frac{1}{4}R_2\end{aligned}$$

Obliczenie wartości V_{out} dla rezystorów $R_1 = 2.2k\Omega$, $R_2 = 8.8k\Omega$ przy użyciu wyprowadzonego wzoru

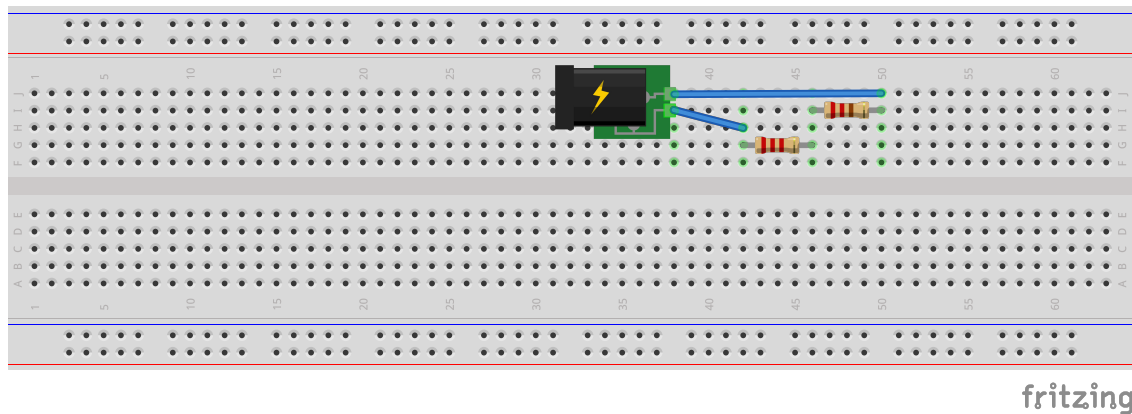
$$V_{out} = \frac{8800\Omega \cdot 5V}{8800\Omega + 2200\Omega} = 4V$$

Pomiar napięcia V_{out}

Dla podzielnika napięcia dokonano pomiaru napięcia wyjściowego V_{out} przy pomocy Multimetru RIGOL skonfigurowanego do pomiaru napięcia. Multimert wskazał wynik 4.095V.

3.2.5 Napięcie na wyjściu $V_{out} = 4.54V$

Projekt dzielnika napięcia w programie Fritzing



Rysunek 19: Rezystencyjny podzielnik napięcia

Wyznaczenie stosunku między R_1 i R_2 przy użyciu wyprowadzonego wzoru

$$\begin{aligned}\frac{4.54V}{5V} &= \frac{R_2}{R_1 + R_2} \\ \frac{227}{250}R_1 + \frac{227}{250}R_2 &= R_2 \\ R_1 &= \frac{23}{229}R_2\end{aligned}$$

Obliczenie wartości V_{out} dla rezystorów $R_1 = 220\Omega$, $R_2 = 2.2k\Omega$ przy użyciu wyprowadzonego wzoru

$$V_{out} = \frac{2200\Omega \cdot 5V}{2200\Omega + 2200\Omega} \approx 4.54V$$

Pomiar napięcia V_{out}

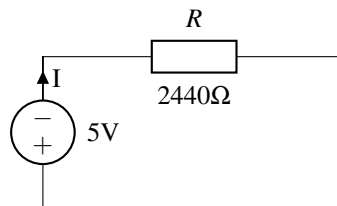
Dla podzielnika napięcia dokonano pomiaru napięcia wyjściowego V_{out} przy pomocy Multimetru RIGOL skonfigurowanego do pomiaru napięcia. Multimert wskazał wynik 4.613V.

4 Pomiary prądu stałego

4.1 Pomiary prądu w obwodzie

Cel

Przy użyciu stykowej płytki prototypowej należy zbudować obwód pokazany na rysunku 20 oraz dokonać pomiarów spadku napięcia na rezystorze R i natężenia prądu w obwodzie, pamiętając przy tym o zapisaniu jednostek.



Rysunek 20: Obwód do badania napięć i prądów

Wyniki pomiarów

Spadek napięcia	Natężenie prądu
2.144A	5.037V

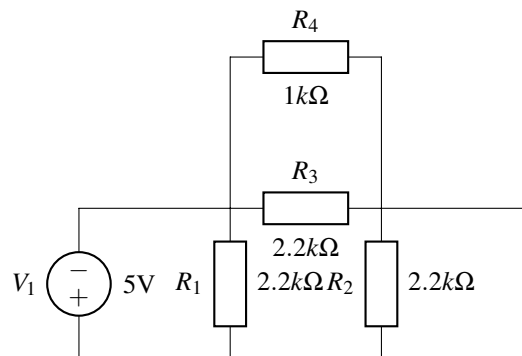
Tablica 5: Tabela pomiarów spadku napięcia na rezystorze R i natężenia prądów w obwodzie

4.2 Pomiary prądów i napięć

Cel

Dla obwodu z rysunków 21, 22 należy sprawdzić prawa Kirchhoffa, dokonując stosownych pomiarów (spadki napięć na rezystorach oraz prądy w gałęziach) oraz obliczeń analitycznych, a następnie porównać otrzymane wartości ze sobą.

4.2.1 Obwód (a)



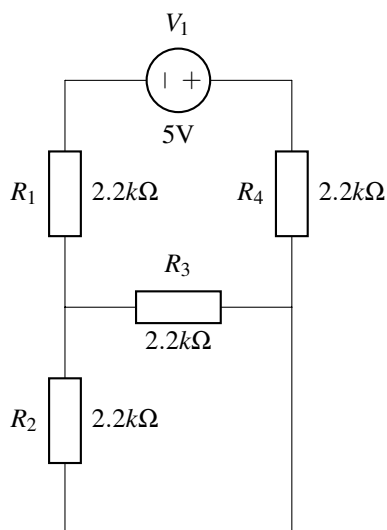
Rysunek 21: Obwód (a) do badania prądów i napięć w obwodzie

Wyniki pomiarów

Rezystor	Prądy w obwodzie	Napięcia w obwodzie
R_1	5.037V	—
R_2	4.202V	—
R_3	1.228V	—
R_4	1.573V	—

Tablica 6: Tabela pomiarów spadków napięć na rezystorach oraz prądów na gałęziach

4.2.2 Obwód (b)



Rysunek 22: Obwód (b) do badania prądów i napięć w obwodzie

Wyniki pomiarów

Rezystor	Prądy w obwodzie	Napięcia w obwodzie
R_1	2.061V	—
R_2	1.407V	—
R_3	1.110V	—
R_4	2.290V	—

Tablica 7: Tabela pomiarów spadków napięć na rezystorach oraz prądów na gałęziach

Spis treści

1	Ćwiczenia wprowadzające	1
1.1	Rezystory	1
1.2	Kondensatory	1
1.3	Cewki	2
2	Obwody	3
2.1	Obliczanie rezystancji zastępczej	3
2.1.1	Wyprowadzenie wzoru i obliczenie rezystancji zastępczej	3
2.2	Budowanie obwodów rezystancyjnych	3
2.2.1	Obwód (a)	4
2.2.2	Obwód (b)	5
2.2.3	Obwód (c)	6
2.2.4	Obwód (d)	7
2.2.5	Obwód (e)	8
2.2.6	Obwód (f)	10
3	Pomiary napięcia	11
3.1	Pomiar wartości napięć wyjściowych z zasilacza	11
3.2	Dzielnik napięcia	12
3.2.1	Napięcie na wyjściu $V_{out} = 2.5V$	13
3.2.2	Napięcie na wyjściu $V_{out} = 3.22V$	14
3.2.3	Napięcie na wyjściu $V_{out} = 1.66V$	15
3.2.4	Napięcie na wyjściu $V_{out} = 4V$	16
3.2.5	Napięcie na wyjściu $V_{out} = 4.54V$	17
4	Pomiary prądu stałego	18
4.1	Pomiary prądu w obwodzie	18
4.2	Pomiary prądów i napięć	18
4.2.1	Obwód (a)	18
4.2.2	Obwód (b)	19